

# استفاده از روش‌های زمین آماری در تعیین نیاز آبی چغندرقند در استان تهران<sup>۱</sup>

Determination of sugar beet water requirement in Tehran province  
using geostatistics methods

مهدی شهرابی‌فر<sup>۲</sup>، مهدی کوچک‌زاده<sup>۳</sup>، محسن محمدزاده<sup>۴</sup> و سید مجید میرلطیفی<sup>۵</sup>

م. شهرابی‌فر، م. کوچک‌زاده، م. محمدزاده و س.م. میرلطیفی. ۱۳۸۳. استفاده از روش‌های زمین آماری برای تعیین نیاز آبی زراعت چغندرقند در استان تهران. چغندرقند ۱۴۷(۲): ۱۳۳-۱۴۷

## چکیده

به منظور تعیین نیاز آبی خالص (تبخیر و تعرق پتانسیل) زراعت چغندرقند با هدف مدیریت منابع آب، برنامه‌ریزی آبیاری، بهینه‌سازی مصرف آب و دستیابی به حداقل عملکرد، از روش دو مرحله‌ای فائق استفاده شده است. با استفاده از داده‌های هواشناسی، تبخیر و تعرق مرجع به روش هارگریوز-سامانی در ۳۸ ایستگاه هواشناسی محاسبه شده و سپس با اعمال ضریب گیاهی مناسب مقدار تبخیر و تعرق پتانسیل چغندرقند محاسبه شد. با سه روش درون‌یابی (کوکریگینگ، کریگینگ و میانگین وزنی عکس فاصله) مقدار تبخیر و تعرق پتانسیل چغندرقند برای ۴۵ نقطه (رئوس شبکه  $3300 \times 5200$  متری) که از ایستگاه‌های هواشناسی فاصله داشته‌اند برآورد شده و براساس آن‌ها با استفاده از سیستم اطلاعات جغرافیایی (GIS) نقشه‌های توزیع مکانی تبخیر و تعرق پتانسیل چغندرقند در سطح استان تهران تهیه گردیده است. نقشه‌های حاصل بر اساس معیار میانگین مربع خطأ (MSE) که به روش اعتبار مقابل محاسبه گردیده، ارزیابی شده و بر اساس ارزیابی به عمل آمده نقشه حاصل از روش درون‌یابی کوکریگینگ در اولویت قرار گرفته است. براساس نتایج، در تیرماه در سطح استان، کمترین و بیشترین مقدار تبخیر و تعرق پتانسیل روزانه چغندرقند به ترتیب برابر  $5/5$  و  $10$  میلی‌متر و کمترین و بیشترین مقدار نیاز آبی خالص چغندرقند در طول دوره رشد در استان به ترتیب برابر  $600$  و  $1200$  میلی‌متر بدست آمده است.

**واژه‌های کلیدی:** تبخیر و تعرق، چغندرقند، روش‌های زمین آماری، سیستم اطلاعات جغرافیایی، نیاز آبی

<sup>۱</sup>- اقبالی از رساله دکتری تحت عنوان: برآورد تبخیر و تعرق مرجع منطقه‌ای با استفاده از زمین آمار و سیستم اطلاعات جغرافیایی در استان تهران

<sup>۲</sup>- دکترای علوم و مهندسی آبیاری از دانشگاه تربیت مدرس، عضو هیئت علمی و رئیس بخش تحقیقات آبیاری و فیزیک خاک مؤسسه تحقیقات خاک و آب E-mail: m\_shahabifar @ yahoo.com

<sup>۳</sup>- عضو هیئت علمی گروه آبیاری دانشگاه تربیت مدرس

<sup>۴</sup>- عضو هیئت علمی گروه آمار دانشگاه تربیت مدرس

## مقدمه

سرمایه می‌گردد. حال آن که اگر اندکی هزینه قبل از اجرا و در مرحله طراحی صرف تخمین نیاز آبی گیاهان شود مشکلات فوق‌الذکر اتفاق نخواهد افتاد. از جمله دلایل وجود خطا در برآورد نیاز آبی گیاهان، عدم آگاهی کافی طراحان از مسائل اگرونومیکی و خصوصیات فیزیولوژیکی گیاه در رابطه با مصرف آب و عدم انتخاب روش مناسب تخمین نیاز آبی گیاهان می‌باشد.

نیاز آبی زراعت چندرقند به شدت تابع شرایط آب و هوایی، مدیریت آبیاری و طول دوره رشد هم چنین تراکم، ژنتیک و میزان نیتروژن مصرفی می‌باشد(کوچکی و همکاران ۱۳۷۲). چندرقند از نظر نیاز آبی به واسطه دوره رشد طولانی جزء گیاهان پرمصرف به شمار می‌رود به طوری که مقدار نیاز آبی آن در کرج و مشهد به ترتیب برابر ۸۸۳ و ۷۶۲/۸ میلی‌متر در طول دوره رشد برآورد شده است (غالبی ۱۳۷۹؛ رحیمیان و اسدی ۱۳۷۹). نیاز آبی این گیاه در طول دوره رشد در مناطق مختلف جهان بین ۳۵۰ تا ۱۱۵۰ میلی‌متر گزارش شده است(Allen et al. 1998). براساس تحقیقات انجام شده، در دو ماه اول دوره رشد میزان تبخیر و تعرق چندرقند در مقایسه با تبخیر و تعرق مرجع بسیار اندک است و دلیل آن سطح اندک پوشش گیاهی در مراحل اولیه می‌باشد که بوته‌ها با فواصل زیاد از هم قرار دارند. به محض این که مساحت پوشش گیاهی کامل می‌شود (حدود ۶۰ تا ۸۰ روز بعد از کاشت) مقدار تبخیر و تعرق

محدودیت منابع آب و رقابت بخش‌های مختلف در استفاده از این منابع از یک طرف و افزایش سطح اراضی فاریاب از طرف دیگر اهمیت بहره برداری بهینه از این منابع را صد چندان می‌سازد. جهت بهره‌برداری مناسب از برآورد دقیق آب مورد نیاز گیاهان در مطالعات کشاورزی، مدیریت منابع آب و محیط زیست ضرورتی اساسی می‌باشد. تعیین میزان تبخیر و تعرق در مقیاس منطقه‌ای پیش نیاز برنامه‌های توسعه کشاورزی پایدار می‌باشد و برای نیل به این هدف تعیین نقشه توزیع مکانی تبخیر و تعرق در سطح هر منطقه ضروری است (Martinez-Cob 1996). چندرقند یکی از مهمترین منابع تولید شکر در جهان و ایران می‌باشد. ولی چندرقند در اغلب مناطق ایران کشت می‌شود و یا قابل کشت است (رحیمیان و اسدی ۱۳۷۹). بنابراین تحقیق و برنامه‌ریزی برای افزایش تولید این محصول به منظور نیل به خودکافی ای کشور و جلوگیری از واردات شکر، ضروری است. از جمله مطالعات لازم در این راستا تعیین نیاز آبی این گیاه می‌باشد.

هرچند هدف اصلی آبیاری تأمین نیاز آبی گیاهان (تبخیر و تعرق) می‌باشد، اما غالباً به ضرورت برآورد نیاز آبی گیاهان در طرح‌های آبیاری توجه کافی نمی‌شود. این امر سبب عدم تناسب بین آب و اراضی تحت کشت می‌گردد. به عبارتی پروژه کمتر و یا بیشتر از اندازه طراحی می‌شود که هر دو باعث هدر رفتن

نقطه اندازه‌گیری، سطحی همگن است ولی این فرض در واقع با توجه به تغییرات شدید داده‌های آب و هوایی و تغییرات ارتفاعی در سطح منطقه مورد مطالعه مورد اشکال می‌باشد (Garcia and Hashmi 1994) توزیع غیریکنواخت انرژی در سطح یک ناحیه، باعث انتقال افقی انرژی می‌گردد. انتقال و جابجایی افقی توده اتمسفر منجر به انتقال بخار آب و انرژی محسوس می‌شود و این پدیده از عوامل ناهمگنی سطح منطقه و عدم کارآیی مدل‌های غیر مکانی (Burman and Pochop 1994; Rosenberg, 1969 and Monteith 1981)

یکی دیگر از دلایلی که سبب عدم امکان استفاده از مدل‌های نقطه‌ای در تخمین تبخیر و تعرق در سطح یک منطقه می‌شود تعداد محدود ایستگاه‌های هواشناسی توزیع نامناسب محل ایستگاه‌ها و نامناسب بودن داده‌های آن‌ها از نظر کمیت و کیفیت می‌باشد. به عبارت دیگر به دلیل تراکم اندک ایستگاه‌ها در واحد سطح، مقادیر به دست آمده از اندازه‌گیری پارامترهای آب و هوایی، توانایی توصیف وضعیت منطقه را ندارند. تحقیقات تریمر (Trimmer 1980) در نبراسکا نشان داد که در صورت هموار بودن منطقه به لحاظ تپوگرافی، داده‌های اندازه‌گیری شده در یک ایستگاه هواشناسی را می‌توان برای محاسبه تبخیر و تعرق محلی به کار برد و استفاده از اینگونه داده‌ها در سطح وسیع با تغییرات نسبتاً شدید ارتفاع، توأم با خطای زیاد می‌باشد. تحقیقی دیگر در منطقه‌ای از کالیفرنیا با

گیاهی به تبخیر و تعرق مرجع نزدیکتر می‌شود که علت آن تعرق زیاد از سطح وسیع برگ‌ها است (کوچکی و همکاران ۱۳۷۲). تمام تحقیقات انجام شده برای تعیین نیاز آبی چندرقند نقطه‌ای بوده و در مقیاس منطقه‌ای کاربرد دقیقی ندارد.

تابش خورشیدی، دما و رطوبت هوا و سرعت باد پارامترهای اقلیمی هستند که در زمان بررسی فرآیند تبخیر و تعرق باید مورد توجه قرار گیرند این داده‌ها که برای تعیین تبخیر و تعرق به کار می‌روند از نوع داده‌های مکانی (Spatial Data) بوده و شدیداً تابع خصوصیات مکان می‌باشند (Allen et al. 1998 and Jensen et al. 1990) را برای درجه حرارت هوا و سرعت باد می‌توان در فاصله‌ای کمتر از یک کیلومتر مشاهده نمود (Al-Ghabari 2000; hashmi and Garcia 1998). این تغییرات در مناطق کوهستانی مثل ایران باز هم شدیدتر است. در یک منطقه علاوه بر تغییرات داده‌های اقلیمی در مقیاس مکان، تنوع کاربری اراضی و نوع خاک نیز باعث تغییر شدت تبخیر و تعرق در سطح منطقه می‌شوند (Rose 1984). تغییرات مکانی خصوصیات خاک سبب می‌شود تا توسعه ریشه، جذب آب و نهایتاً "فرآیند تبخیر و تعرق به یک پدیده مکانی تبدیل گردد" (Hillel 1985; Miller 1980).

اغلب مدل‌هایی که برای تعیین تبخیر و تعرق مورد استفاده قرار می‌گیرند، مدل‌های غیر مکانی بوده و اساس آن‌ها براین فرض استوار است که مناطق اطراف

کرده بودند، نقشه تبخیر و تعرق مرجع را برای استان خوزستان ترسیم نمودند.

در یکی از حوضه های آبریز دانمارک از نقشه کاربری اراضی، سری های زمانی بارندگی ماهانه و تبخیر و تعرق پتانسیل در یک معادله همبستگی استفاده کرده و توزیع فضایی تبخیر و تعرق واقعی را تخمین زدند (Skop and acquarone 1997).

داده های ۳۴ ایستگاه درجه یک و مدل پن من مانیث برای تخمین تبخیر و تعرق مرجع ماهیانه در منطقه شمال شرق ایالات متحده به کار گرفته شده است. برای درون یابی تبخیر و تعرق در سطح منطقه از همبستگی چند متغیره استفاده گردید که متغیرهای مستقل این رابطه همبستگی متوسط درجه حرارت ماهیانه، طول جغرافیایی و ارتفاع از سطح دریا بوده است (Fennessey and Vogel 1996).

در برنامه ریزی آبیاری درختان زیتون در استان چین اسپانیا برای محاسبه تبخیر و تعرق مرجع از معادله هارگریوز و برای پهنگندی و درون یابی از روش معکوس مربع فاصله در سیستم اطلاعات جغرافیای استفاده شده است (Rojas and Roldan 1996).

داده های شش ایستگاه هواشناسی در یکی از دشت های کلرادو با مساحت ۱۱۰۰۰ هکتار برای تخمین تبخیر و تعرق منطقه ای استفاده شده است. برای محاسبه تبخیر و تعرق مرجع روش بیانی - کریدل فائو و برای درون یابی روش معکوس مربع

اندازه گیری تبخیر و تعرق، اختلافی در حد ۵۰ درصد را برای این پارامتر در فاصله ای معادل ۲۰ کیلومتر نشان داد و نتیجه گیری گردید که شدت تبخیر و تعرق از نقطه ای به نقطه دیگر تغییر نموده و تابع توپوگرافی و خصوصیات اقلیمی است. لذا نمی توان مستقیماً از مقادیر محلی در پروژه های منطقه ای استفاده کرد (Nixon et al. 1963).

برای تهیه نقشه تبخیر و تعرق مرجع در کلرادو پارامترهای اقلیمی در نقاط مختلف جمع آوری و سپس با استفاده از تحلیل همبستگی روابط معنی داری بین پارامترهای اقلیمی و ارتفاع بدست آمد. در مورد برخی از پارامترها که ارتباط معنی داری وجود نداشت از همبستگی بین آن، با پارامتر دیگر آب و هوایی استفاده شد. در ادامه با مشخص شدن توزیع مکانی پارامترهای اقلیمی تبخیر و تعرق مرجع محاسبه گردید (Claessens et al. 1994).

اسدی و همکاران (۱۳۷۹) با جمع آوری داده های هواشناسی ۳۲ ایستگاه هواشناسی موجود در استان خوزستان و استان های مجاور با روش پن من - مانیث فائو و هارگریوز - سامانی تبخیر و تعرق مرجع را در ایستگاه های مذکور محاسبه نموده (فرشی و همکاران ۱۳۷۶) و سپس رابطه همبستگی معنی داری بین تبخیر و تعرق مرجع و ارتفاع ایستگاهها به دست آوردن. آن ها با استفاده از معادله به دست آمده و مدل ارتفاعی که از نقشه های توپوگرافی استان مذکور تهیه

همبستگی به دلیل آن که هیچ گونه توجهی به خصوصیات مکانی داده‌ها ندارد در این نوع مطالعات نتایج قابل قبولی ارائه نخواهد داد. اما روش میانگین وزنی به دلیل توجه به فاصله بین موقعیت‌ها که خود یکی از خصایص مکانی می‌باشد نتایج مناسب‌تری را نسبت به روش قبلی ارائه می‌دهد ولی این روش نیز به دلیل عدم توجه به ساختار همبستگی داده‌های مکانی که ناشی از تفاوت داده‌ها در موقعیت‌های مختلف می‌باشد دارای ضعف است.

در این بررسی با توجه به خصوصیات مکانی داده‌ها به منظور تعیین نقشه توزیع مکانی تبخیر و تعرق در سطح استان تهران از روش‌های درون‌بابی کریگینگ، کوکریگینگ (CoKriging) و میانگین (Inverse Distance Weighted) وزنی عکس فاصله استفاده شده است. در ضمن با آگاهی از این که تئوری روش‌های کریگینگ و کوکریگینگ در مورد داده‌های مکانی قوی‌تر از روش میانگین وزنی عکس فاصله می‌باشد به دلیل آن که روش اخیر به علت سادگی محاسبات کاربرد زیادی داشته در این مقاله با مقایسه نتایج حاصل از آن با نتایج دو روش دیگر سعی شده است که اهمیت روش‌های درون‌بابی مبتنی بر ساختار همبستگی مکانی داده‌ها آشکارتر گردد.

### مواد و روش‌ها

استان تهران با مساحت ۱۹۲۹۴۰۲ هکتار در شمال ایران، بین ۳۴ درجه ۴۶ دقیقه تا ۳۶ درجه و ۱۸

فاصله در سیستم اطلاعات جغرافیایی استفاده شده است (Hashmi and Garcia 1998).

در یکی از نواحی کوهستانی اسپانیا داده‌های ۱۵۸ ایستگاه برای محاسبه تبخیر و تعرق مرجع با فرمول بلینی - کریدل فائو استفاده و سپس با روش‌های زمین آماری تبخیر و تعرق منطقه‌ای تخمین زده شد. در این تحقیق کارایی سه نوع تخمین‌گر کریگینگ (Kriging) در درون‌بابی متوسط درازمدت تبخیر و تعرق مرجع مورد ارزیابی قرار گرفته است و اختلاف معنی‌داری بین آنها مشاهده نشده است (Martinez-Cob 1996).

در فلوریدا، از داده‌های شبکه تبخیرسنجدی برای تخمین تبخیر و تعرق مرجع منطقه‌ای با روش تحلیل‌های زمین آماری استفاده کردند. در این تحقیق دو تخمین‌گر کریگینگ معمولی (Ordinary Kriging) و کریگینگ عام (Universal Kriging) مورد مقایسه قرار گرفت و در نتیجه تخمین‌گر کریگینگ عام مناسب‌تر شناخته شد. برآوردهای انجام شده برای دو ماه جولای (معرف ماه خشک) و ژانویه (معرف ماه مرطوب) بوده و نقشه‌های هم واریانس (واریانس تخمین) برای این دو ماه با استفاده از دو تخمین‌گر ارائه شده است (Chin and Sifang Zaho 1995).

با توجه به تحقیقات و مطالعات پیش گفته در می‌یابیم که برای تعیین تبخیر و تعرق منطقه‌ای عمده از سه روش تحلیل همبستگی، میانگین وزنی (وزن فاصله) و زمین آماری استفاده شده است. روش تحلیل

تحقیقات انجام شده تعدل و برای مراحل چهارگانه تعیین و سپس در مقادیر تبخیر و تعرق مرتع ضرب شده است. برای تعیین نقشه توزیع مکانی تبخیر و تعرق پتانسیل چندرقند در سطح استان تهران از روش های درون یابی کریگینگ معمولی، کوکریگینگ و روش میانگین وزنی عکس فاصله استفاده شده است. شرط اولیه استفاده از کریگینگ خطی آن است که متغیر مورد نظر توزیع نرمال داشته باشد. برای بررسی نرمال بودن توزیع داده ها از آزمون مربع کای استفاده شد و در سطح پنج درصد اختلاف معنی داری بین توزیع داده های مذکور و توزیع نرمال مشاهده نشد. به عبارت دیگر در سطح اعتماد ۹۵ درصد داده ها دارای توزیع نرمال می بوده اند.

در روش های کریگینگ و کوکریگینگ تخمین تبخیر و تعرق دارای دو مرحله است. مرحله اول، شامل ترسیم شبیه تغییرنگار (Semivariogram) تجربی، برآش مدل شبیه تغییر نگار و تعیین پارامترهای مدل می باشد. در این مرحله مفهوم پیوستگی، همگنی و ناهمگنی و بالاخره ساختار فضایی تبخیر و تعرق مرتع بررسی می شود. تغییر نگار بنا به تعریف عبارت است از میانگین مربعات اختلاف مقادیر متوالی متغیر مورد نظر و نصف آن شبیه تغییر نگار نامیده می شود که بصورت:

$$\gamma(h) = 1/2N(h)[\sum(Z_i - Z_{i+h})^2]$$

تعریف می شود که در آن  $N(h)$  تعداد زوج موقعیت های  $Z$  متمایزی است که در فاصله  $h$  از یکدیگر قرار دارند،  $Z$  مقدار متغیر مورد نظر در موقعیت معین،  $i$  شاخص

دقیقه عرض شمالی و ۵۰ درجه و ۱۴ دقیقه تا ۵۳ درجه و ۱۲ دقیقه طول شرقی واقع شده و ارتفاع آن بین ۷۹۰ تا ۴۱۰۰ متر از سطح آب های آزاد متغیر است. این استان به دلیل دارا بودن شرایط اقلیمی بسیار متفاوت (نواحی خشک کویری تا سرد کوهپایه ای) و بازار بزرگ مصرف از لحاظ تولید محصولات مختلف کشاورزی حائز اهمیت خاص می باشد.

برای تعیین تبخیر و تعرق مرتع از داده های ۲۰ ساله اقلیمی ۳۸ ایستگاه هواشناسی واقع در داخل محدوده و مجاور استان استفاده گردید و مقدار تبخیر و تعرق مرتع با روش هارگریوز - سامانی (Hargreaves and Samani 1985) بر اساس رابطه

زیر محاسبه گردید:

$$ET_o = 0.0023R_a(T + 17.8)(T_{\max} - T_{\min})^{0.5}$$

که در آن،  $ET_o$  تبخیر و تعرق مرتع بر حسب میلی متر در روز،  $R_a$  میانگین تشعشع فرا زمینی بر حسب میلی متر در روز،  $T$  میانگین دمای روزانه هوا،  $T_{\max}$  میانگین حداقل دمای روزانه هوا و  $T_{\min}$  میانگین حداقل دمای روزانه هوا می باشد. میانگین بلند مدت تبخیر و تعرق مرتع برای ماه های مختلف سال محاسبه شده و سپس با استفاده از ضرایب گیاهی مناسب تبخیر و تعرق پتانسیل چندرقند از رابطه زیر تعیین شده است.

$$ETc = ET_o * Kc$$

که در آن،  $ETc$  تبخیر و تعرق پتانسیل و  $Kc$  ضریب گیاهی می باشد. ضریب گیاهی از نشریه شماره ۶۵ آبیاری و زهکشی فائو استخراج و با استفاده از

$$\hat{Z}(x_0) = \sum \Lambda_i Z(x_i)$$

که در آن:

$$\Lambda_i = \begin{bmatrix} \lambda_{11}^i & \lambda_{12}^i \\ \lambda_{21}^i & \lambda_{22}^i \end{bmatrix} \quad \hat{Z}(x_0) = \begin{bmatrix} Z_1(x_0) \\ Z_2(x_0) \end{bmatrix}$$

است و برای هر  $i$  ماتریس ضرایب  $\Lambda_i$  به گونه‌ای تعیین می‌شوند که  $\hat{Z}(x_0)$  بهترین تخمین‌گر نالریب خطی بر اساس مشاهدات باشد (Cressie 1993).

برای تخمین مقدار تبخیر و تعرق در موقعیت دلخواه  $x_0$  براساس مشاهدات در موقعیت‌های  $x_1, \dots, x_n$  به شیوه درون‌بابی میانگین وزنی عکس فاصله از رابطه استفاده شد.

$$\hat{Z}(x_0) = (\sum Z(x_i) / h_{0i}) / (\sum 1 / h_{0i})$$

که در آن،  $\hat{Z}(x_0)$  مقدار تخمین در موقعیت  $x_0$ ،  $Z(x_i)$  مقدار معلوم در موقعیت  $x_i$  و  $h_{0i}$  فاصله بین دو موقعیت  $x_0$  و  $x_i$  می‌باشد.

در روش میانگین وزنی عکس فاصله، وزن یا اهمیت موقعیت‌های معلوم در تخمین موقعیت مجھول، به نسبت عکس فاصله آن‌ها در مقایسه با مجموع عکس فواصل همه موقعیت‌هایی که در تخمین شرکت می‌کنند، می‌باشد.

برای انتخاب بهترین نقشه توزیع مکانی تبخیر و تعرق از معیار میانگین مربع خطای (Mean Square Error) که به روش اعتبار متقابل محاسبه شده، استفاده گردیده است.

برای تهییه نقشه‌های توزیع مکانی تبخیر و تعرق، محدوده مطالعاتی شبکه‌بندی شده (طول شبکه ۵۲۰۰ متر و عرض آن ۳۴۰۰ متر) و مقدار تبخیر و

موقعیت مورد نظر و  $\gamma(h)$  مقدار شبیه تغییر نگار بازای

فاضله معرفه  $h$  می‌باشد (Cressie 1993).

برای برآش مدل شبیه تغییر نگار به داده‌های تجربی، مدل‌های کروی، نمائی، خطی، خطی سقف‌دار و گوسی مورد بررسی قرار گرفته و بهترین مدل و پارامترهای آن به شیوه اعتبار متقابل (Cross-Validation) به دست آمده است

(Hevesi et al. 1992).

مرحله دوم عبارت است از تخمین زمین آماری تبخیر و تعرق به روش کریگینگ یا کوکریگینگ که به پارامترهای مدل شبیه تغییر نگار برآش شده در مرحله اول وابسته است.

برای تخمین مقدار تبخیر و تعرق در موقعیت دلخواه  $x_0$  براساس مشاهدات در موقعیت‌های  $x_1, \dots, x_n$  به شیوه درون‌بابی کریگینگ از رابطه:

$$\hat{Z}(x_0) = \sum \lambda_i Z(x_i)$$

استفاده شده، که در آن  $\hat{Z}(x_0)$  مقدار تخمین در موقعیت  $x_0$ ،  $Z(x_i)$  مقدار معلوم در موقعیت  $x_i$  و وزن یا اهمیت مقدار وابسته به موقعیت  $x_i$  است و  $\lambda_i$  ها به گونه‌ای تعیین می‌شوند که  $\hat{Z}(x_0)$  بهترین تخمین‌گر نالریب خطی بر اساس مشاهدات باشد (Cressie 1993).

چنانچه  $Z(x_i) = \begin{bmatrix} Z_1(x_i) \\ Z_2(x_i) \end{bmatrix}$  نشانگر مشاهده در موقعیت  $i$  است (تبخیر و تعرق =  $Z_1$  و ارتفاع  $Z_2$ ) باشد، کوکریگینگ در موقعیت دلخواه  $x_0$  بر اساس مشاهدات در موقعیت‌های  $x_1, \dots, x_n$  بصورت خواهد بود:

تبخیر و تعرق برای تیر ماه و کل دوره رشد در جدول یک ارائه شده است.

مؤلفه تصادفی متغیر مکانی به دو بخش دارای ساختار و بدون ساختار تجزیه می شود. اثر قطعه در واقع بخش بی ساختار آن است که ناشی از وجود مؤلفه های تصادفی در توزیع متغیر (تصادفی بودن فرایند) و یا خطاهای نمونه برداری می باشد.

تعرق به روش کوکریگینگ در رئوس شبکه (۳۰۴۵ گره) برآورد شد و بر اساس آن ها نقشه های توزیع مکانی تبخیر و تعرق ترسیم گردید.

## نتایج و بحث

نتایج حاصل از برازش مدل های شبه تغییر نگار بر داده های ارتفاع ایستگاه ها و تبخیر و تعرق پتانسیل و هم چنین شبه تغییر نگار مقابله ارتفاع ایستگاه -

**جدول ۱** پارامترهای مدل های شبه تغییرنگار و شبه تغییرنگار متقابل

**Table 1** Parameter of semivariogram and cross semivariogram model

عامل	اثر قطعه C0	سقف C0+C	شعاع تاثیر A0 (km)	نسبت C/(C+C0)	ضریب تبیین R^2
تبخیر و تعرق چند رقند (تیر ماه) sugar beet evapotranspiration	0.001	1.338	76.5	0.999	0.76
ارتفاع ایستگاه elevation of station	100	244200	63.1	1	0.84
تبخیر و تعرق ارتفاع evapotranspiration-elevation	-1	-519.5	73.4	0.998	0.86
تبخیر و تعرق چند رقند (دوره رشد) sugar beet evapotranspiration (growth period)	10	24960	73.9	1	0.80
تبخیر و تعرق ارتفاع (دوره رشد) evapotranspiration-elevation (growth period)	-100	-74100	71.6	0.999	0.89

تخمین گرهای زمین آماری برای آن ها جواب های مورد قبول ارائه خواهد داد.

هم چنان که فاصله افزایش می یابد، مقدار شبه تغییرنگار از مقادیر کم شروع شده و پس از فراز و نشیب هایی ممکن است به سمت حد ثابتی میل کند که بعد از آن هر چه فاصله بیشتر شود مقدار شبه تغییرنگار تغییر معنی داری نمی کند. به این مقدار نسبتاً ثابت سقف

بر این اساس معیار  $C/(C+C0)$  برای بیان وجود ساختار فضایی تعریف شده است، اگر مقدار این معیار کوچکتر از  $5/0$  باشد. نقش مؤلفه بی ساختار بیشتر از مؤلفه های دارای ساختار است و در نتیجه ساختار فضایی ضعیف تلقی می گردد. بنابراین با توجه به مقادیر ارائه شده در جدول ۱ مشخص می شود که متغیرهای مورد بررسی دارای ساختار فضایی بوده و کاربرد

هم بیش از نقاط دورتر است. لذا با افزایش فاصله مکانی بین نمونه‌ها، به حدی می‌رسیم که از آن به بعد مقدار متغیر مکانی در نقاط اطراف یکدیگر بر هم تأثیر چندانی ندارند. این فاصله شعاع تأثیر نامیده می‌شود. بدیهی است که شعاع تأثیر بزرگتر دلالت بر ساختار فضایی گسترده‌تر دارد. این گسترش موجب افزایش محدوده مجازی می‌گردد که می‌توان از داده‌های معلوم در آن برای تخمین مقدار متغیر مکانی در موقعیت مجهول استفاده کرد. در تخمین مقدار تبخیر و تعرق در هر موقعیت، از تمام داده‌های معلوم در شعاع تأثیر استفاده شده است.

گفته می‌شود. در زمین آمار شبه تغییرنگارهایی که به سقف مشخص می‌رسند به دلیل دلالت بر عدم وجود روند در محدوده مطالعاتی اهمیت بیشتری دارند. با توجه به نتایج ارائه شده در جدول ۱ نتیجه می‌شود که شبه تغییر نگارهای متغیرهای ارتفاع ایستگاه و تبخیر و تعرق و شبه تغییر نگار مقابله ارتفاع ایستگاه - تبخیر و تعرق، دارای سقف بوده و دلالت بر عدم وجود روند در محدوده مطالعاتی می‌نمایند.

با توجه به آن که متغیرهای مورد بررسی دارای ساختار فضایی می‌باشند، توزیع مکانی آن‌ها به صورتی است که تشابه مقدار متغیر مکانی برای نقاط نزدیک به

**جدول ۲ نتایج آماری و میانگین مربع خطای روش‌های مختلف درون‌پایی بر حسب میلی‌متر**  
**Table 2 statistical results and mean square error of interpolation methods (mm)**

عوامل	حداقل	میانگین	حداکثر	انحراف معیار	میانگین مربع خطای
تبخیر و تعرق چندرقند(تیرماه) sugar beet evapotranspiration	5.5	8.11	10.01	1.036	0
تبخیر و تعرق چندرقند(تیرماه)-کریگینگ sugar beet evapotranspiration (kriging)	5.80	8.04	9.63	0.857	0.389
تبخیر و تعرق چندرقند(تیرماه)-کوکریگینگ sugar beet evapotranspiration (cokriging)	5.42	8.05	9.93	0.913	0.386
تبخیر و تعرق چندرقند(تیرماه)-عکس فاصله sugar beet evapotranspiration (IDW)	5.91	7.81	9.69	0.818	0.495
تبخیر و تعرق چندرقند(دوره رشد) sugar beet evapotranspiration	598.4	944.4	1196.5	142.27	0
تبخیر و تعرق چندرقند(دوره رشد)-کریگینگ sugar beet evapotranspiration (kriging)	640.35	940.58	1177.3	118.68	6270.72
تبخیر و تعرق چندرقند(دوره رشد)-کوکریگینگ sugar beet evapotranspiration (cokriging)	619.20	940.50	1213.6	126.55	5956.39
تبخیر و تعرق چندرقند(دوره رشد)-عکس فاصله sugar beet evapotranspiration (IDW)	660.95	931.38	1178.2	111.82	7993.58

شد و براساس آن‌ها نقشه‌های توزیع مکانی تبخیر و تعرق پتانسیل برای تیر ماه و کل دوره رشد ترسیم گردید(نقشه ۲۰). از نتایج به دست آمده در طراحی الگوی کشت، سیستم‌های آبیاری و برنامه‌ریزی در سطح منطقه‌ای می‌توان استفاده نمود.

کمترین و بیشترین مقدار تبخیر و تعرق پتانسیل به دست آمده در تیر ماه برابر  $5/5$  و  $10$  میلی‌متر در روز بوده که به ترتیب در شهرستان دماوند و ورامین اتفاق افتاده است. این مقادیر برابر  $64/0$  و  $1/2$  لیتر در ثانیه در هکتار می‌باشند. در طی دوره رشد کمترین و بیشترین مقدار تبخیر و تعرق پتانسیل برابر  $600$  و  $1200$  میلی‌متر شده است. در کرج براساس نتایج تحقیقات به عمل آمده مقدار نیاز آبی خالص چندرقند  $883$  میلی‌متر گزارش شده (غالبی  $1379$ ) و با روش فوق برابر  $849$  میلی‌متر برآورد گردیده است.

در  $10$  درصد از اراضی استان تهران میزان تبخیر و تعرق پتانسیل چندرقند کمتر از  $725$  میلی‌متر در دوره رشد می‌باشد که این اراضی در شمال استان واقع است و در آن‌ها چندرقند کشت نمی‌شود. در  $75$  درصد از اراضی استان میزان تبخیر و تعرق پتانسیل چندرقند بیشتر از  $950$  میلی‌متر در دوره رشد بوده که در این مناطق بعضاً چندرقند کشت می‌گردد.

نتایج حاصل منطقه‌ای بوده و با استفاده از آن‌ها در مطالعات آتی می‌توان با ملحوظ نمودن داده‌های خاک، بارش و هم چنین اطلاعات شیوه‌های کشت

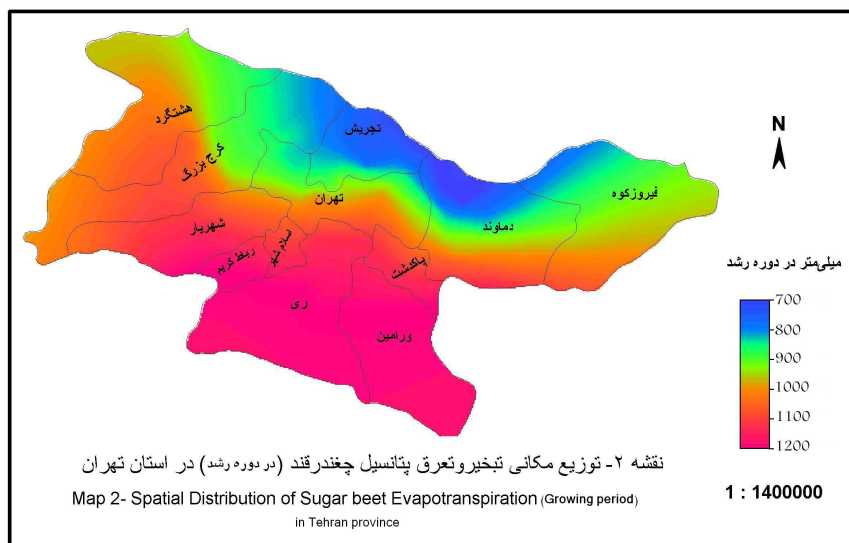
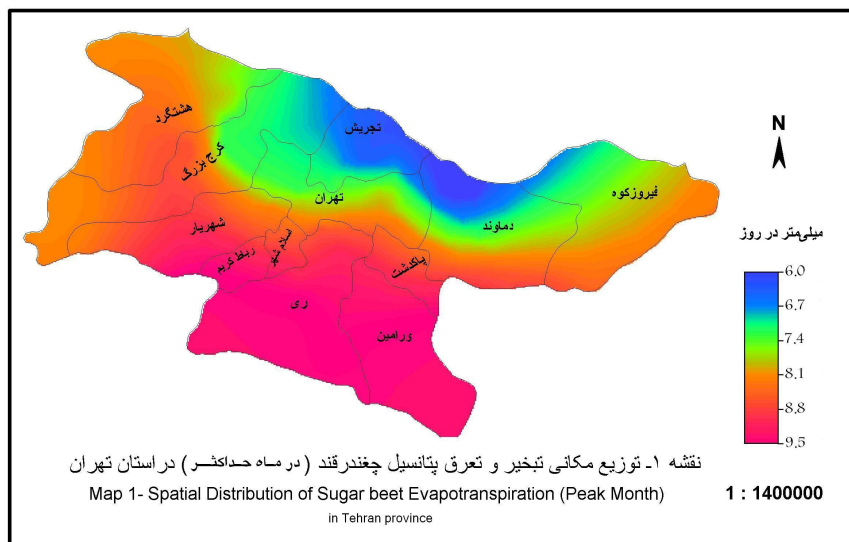
در جدول ۲ نتایج آماری داده‌های محاسبه شده تبخیر و تعرق و اطلاعات حاصل از هر سه روش درون‌یابی ارائه شده است. هم چنین میانگین مربع خطأ که به روش اعتبارسنجی متقابل محاسبه شده در ستون آخر جدول ارائه گردیده که با توجه به آن اولویت با نقشه حاصل از روش کوکریگینگ، کریگینگ و میانگین وزنی عکس فاصله است.

در سطح استان به دلیل تغییر ارتفاع در نقاط مختلف دمای هوا نیز به تبع آن متغیر بوده و در نتیجه مقدار تبخیر و تعرق که شدیداً تابع دمای هواست در سطح استان تغییر کرده است. لذا این عامل در محدوده مورد مطالعه وابستگی مکانی دارد. که نتایج به دست آمده نیز این مطلب را تأیید می‌نماید. زیرا روش‌های زمین‌آماری به دلیل آن که در تخمین علاوه بر مقدار متغیر مورد بررسی در یک موقعیت، همبستگی فضایی آن را نیز در تحلیل آن‌ها لحاظ می‌کند نتایج مناسب‌تری را ارائه داده‌اند. در ضمن روش کوکریگینگ به دلیل تئوری ارائه شده و استفاده از متغیر کمکی ارتفاع نقاط که وابستگی شدید با تبخیر و تعرق دارد، برآوردهای مناسب‌تری عاید نموده است.

بنابراین به منظور تهیه نقشه توزیع مکانی تبخیر و تعرق پتانسیل چندرقند در سطح استان تهران محدوده مورد نظر را همانگونه که قبلًا" اشاره شده است شبکه‌بندی نموده و مقدار تبخیر و تعرق پتانسیل به روش کوکریگینگ برای رئوس شبکه‌ها تخمین زده

آبی خالص چگندرقند در آن تعیین می‌گردد. در ضمن از این اطلاعات می‌توان درو مطالعات هیدرولوژی حوزه‌ها نیز استفاده نمود زیرا تبخیر و تعرق از عوامل مهم بیلان آبی در هر حوزه می‌باشد.

نقشه‌های توزیع مکانی برنامه‌ریزی آبیاری زراعت چگندرقند را تهیه نمود. در ضمن اطلاعات به دست آمده در طرح تحويل حجمی آب به زارعین بسیار لازم می‌باشد زیرا با داشتن مختصات مکانی هر مزرعه نیاز



## منابع مورد استفاده References

- اسدی، ح. قاسمی‌دهکردی، و.ر. توحیدی، ح.ر. و فرشی، ع.ا. ۱۳۷۹. استفاده از سیستم اطلاعات جغرافیایی به منظور پنهان‌بندی داده‌های نیاز آبی گیاهان (مطالعه موردی استان خوزستان). مجله خاک و آب ویژه نامه آبیاری. جلد ۱۰. شماره ۱۲.
- رحمیان، م.ح. و اسدی، ح. ۱۳۷۹. تأثیر تنش آبی بر عملکرد کمی و کیفی چندرقند و تعیین تابع تولید و ضریب گیاهی آن. مجله خاک و آب ویژه نامه آبیاری جلد ۱۲ شماره ۱۰.
- غالبی، س. ۱۳۷۹. بهینه‌سازی مصرف آب در زراعت چندرقند با استفاده از توابع تولید آب-عملکرد در کرج. مجله خاک و آب ویژه نامه آبیاری جلد ۱۲ شماره ۱۰.
- کوچکی، ع. ، حسینی، م. و نصیری محلاتی، م. ۱۳۷۲. رابطه‌ی آب و خاک در گیاهان زراعی(ترجمه). چاپ اول. انتشارات جهاد دانشگاهی مشهد. ۵۶۰ ص.
- فرشی، ع.ا. شریعتی، م.ر. جارالله، ر. قائمی، م.ر. شهابی‌فر، م. و تولائی، م.م. ۱۳۷۶ . تخمین آب مورد نیاز گیاهان عمده زراعی و با غی کشور. جلد اول. چاپ اول. نشرآموزش کشاورزی، کرج. ۹۰۰ ص .

Al-Ghabari HM (2000) Estimation of Reference Evapotranspiration for Southern Region of Saudi Arabia. Irrigation Science, 19: 81-86

Allen R, Pereira LS, Smith M (1998) Crop Evapotranspiration: Guidelines for Computing Crop Water Requirment. Rome: FAO Irrigation and Drainage Paper No. 56, Italy

Burman R, Pochop LO (1994) Evaporation, Evapotranspiration and Climate Data. Amsterdam: Elsevire, The Netherlands

Chin DA, Sifang Zhao (1995) Evaluation of Evaporation-Pan Networks. Journal of Irrigation and Drainage Engineering, 121(5): 338-346

Claessens L, Garcia LA, Jensen M, Lange RW (1994) Reference Evapotranspiration Maps for Colorado. Water Resources Research Ins., Completion Report No. 182.Fort Collins, Colorado.

Cressie N (1993) Statistics for Spatial Data. John Wiley and Sons, U.S.A.

- Fennessey NM, Vogel RM (1996) Regional Models of Potential Evaporation and Reference Evapotranspiration for The Northeast USA. *Journal of Hydrology*, 184: 337-354
- Hargreaves GH, Samani ZA (1985) Reference Crop Evapotranspiration from Temperature. *Appl. Eng. Agric.*, 1(2): 96-99
- Hashmi M, Garcia LA (1998) Spatial and Temporal Errors in Estimating Regional Evapotranspiration. *Journal of Irrigation and Drainage Engineering*, 24(2): 108-114
- Hashmi M, Garcia LA, Fontane DG (1994) Spatial Estimation of Regional Crop Evapotranspiration, *Transaction of The ASAE*, 38(5): 1345-1351
- Hevesi JA, Istok JD, Flint AL (1992) Precipitation Estimation in Mountainous Terrain Using Multivariate Geostatistics. Part 1: Structural Analysis. *J. Appl. Meteorol.*, 31(7): 661-676
- Hillel D (1985) Advance in Irrigation. 3 rd Vol. Orlando: Academic Press, U.S.A.
- Jensen ME, Burman RD, Allen RG (1990) Evapotranspiration and Irrigation Water Requirement. *ASAE Manual and Rep. On Engrg.Pract.* No. 70, ASAE
- Martinez-Cob A (1996) Multivariate Geostatistical Analysis of Evapotranspiration and Precipitation in Mountainous Terrain. *Journal of Hydrology*, 174: 19-35
- Miller EE (1980) Similitude and Scaling of Soil-water Phenomena. In: Application of soil Physics, ed. Hillel, D. ,pp.300-316. New York : Academic press, U.S.A.
- Monteith JL (1981) Evaporation and Surface Temperature. *Quarterly J. Royal Meteorological Soc.*, London, England, 107: 1-27
- Nixon PR, McGillivray NA, Lawless GP (1963) Evapotranspiration: Climate Comparisons in Coastal Fogbelt, Coastal Valley, and Interior Valley Locations California. *Int. Assoc. Sci. Hydrol. Com. For Evaporation* 62:221-231. (Edited by Jensen, 1981)

- Rojas R, Roldan J (1996) Evapotranspiration Mapping and Irrigation Scheduling for Olive Trees. Proceeding of The International Conference of Evapotranspiration and Irrigation Scheduling. San Antoniu, Texas, 644-650
- Rose CW (1984) Modeling Evapotranspiration : An Approach to Heterogeneous Communities, In: Evapotranspiration from Plant Communities, ed. Sharma, M.L. pp.203-222. Amsterdam: Elsevier, The Netherlands
- Rosenberg NJ (1969) Advective Contribution of Energy, Utilized in Evapotranspiration by Alfalfa in The East Central Great Plain. Agricultural Meteorology, 6: 179-184
- Skop E, Acquarone M (1997) GIS Mapping of Evapotranspiration in The Vejle Fjord Watershed, Denmark. <http://WWW.esri.com/Library/Userconf/Europroc97/4.Enviroment / E3 / e3.Htm>
- Trimmer WL (1980) Suitability of Region-Wide Irrigation Scheduling by Local Evapotranspiration Measurement. Project Completion Report. Nebraska Water Resources Center, Lincoln